

# بررسی زمین‌شیمی و تعیین منشأ بتونیت و سیلیس‌زایی در معدن کویر خور و بیابانک (استان اصفهان)

فروغ ملک‌محمدی<sup>۱\*</sup>، محمود خلیلی<sup>۲</sup> و هاشم باقری<sup>۳</sup>

<sup>۱</sup> دانشجوی دکترا، دانشکده منابع طبیعی و علوم‌زمین، دانشگاه شهرکرد، شهرکرد، ایران

<sup>۲</sup> استاد، گروه زمین‌شناسی، دانشکده علوم، دانشگاه اصفهان، اصفهان، ایران

<sup>۳</sup> دانشیار، گروه زمین‌شناسی، دانشکده علوم، دانشگاه اصفهان، اصفهان، ایران

تاریخ پذیرش: ۱۳۹۱/۰۴/۰۵

تاریخ دریافت: ۱۳۹۰/۰۷/۰۶

## چکیده

معدن کویر خور در شمال خاوری استان اصفهان بخشی از افق بتونیتی خور به شمار می‌رود که در پهنه ساختاری ایران مرکزی قرار دارد. بتونیت‌های این معدن محصول دگرسانی آندزیزیت – بازالت‌های ائوسن هستند. بررسی‌های صحرایی منطقه نشان از وجود گسل‌های فعال بسیاری دارد که نقش مؤثری در انتقال سیال‌های سیلیسی به صورت رژنود، ژاسپروپید و رگه‌های سیلیسی به سطح زمین داشته‌اند. مطالعه مقاطع میکروسکوپی در تطابق با زمین ساخت منطقه بیان کننده بیرون‌ریزی این سیال‌ها به صورت متناوب در یک محیط قلایی آبگین است. مقایسه ترکیب شیمیایی نمونه‌های سیلیسی با بتونیت‌ها نشان‌دهنده وجود روند همانند عناصر کمیاب در پهنه‌های رسی، سیلیسی و سنگ مادر است که این امر نشان‌دهنده نقش این سیال‌های گرمابی در شکل‌گیری بتونیت‌هاست. تهی شدگی از عناصر سنگدوست بزرگ‌یون به همراه بی‌هنجاری مثبت سزیم در هر دو گروه کانی‌های رسی و سیلیسی دیده می‌شود. بررسی‌های ایزوتوپ‌های پایدار آکسیژن و دوتیریم نشان می‌دهد، سیال‌های دگرسان کننده از نوع آب‌های جوی هستند و دمای تشکیل بتونیت‌ها ۸۳ درجه سانتی گراد برآورد می‌شود.

**کلیدواژه‌ها:** بتونیت، سیلیس، ایزوتوپ پایدار، ائوسن، افق بتونیتی خور، ایران مرکزی.

\*نویسنده مسئول: فروغ ملک‌محمدی

E-mail: f.malekmahmoodi@gmail.com

## ۱- پیش‌گفتار

دگرسانی، آکتیویته سیلیسیم، قلایینگی (آلکالینیته) و آکتیویته عناصر قلایی و قلایی خاکی،  $H_P$  حرارت، فشار و فشار بخشی آب است.

## ۲- موقعیت جغرافیایی و زمین‌شناسی منطقه مورد مطالعه

کانسارهای بتونیتی ایران در شش منطقه پدید آمده‌اند که بیشتر در ارتباط با فعالیت آتشفسانی سوزوویک هستند. این مناطق شامل پهنه‌های بتونیتی سمنان – ترود، البرز – آذربایجان، تفرش – تکاب، زاگرس، ایران مرکزی و پهنه بتونیتی خاور ایران است. بتونیت‌های ایران مرکزی با سن ائوسن تا الیگومیوسن را می‌توان به دو افق تقسیم کرد:

۱- افق اصلی که از زرین اردکان آغاز و تا جنوب فردوس کشیده می‌شود. سن بتونیت‌های این افق از ائوسن بالایی تا الیگوسن است و شاید به اوایل میوسن برسد. لایه‌های بالایی این افق را کنگلومرایی با سن نوژن می‌یوشاند که راهنمای ارزنده‌ای در پی گردی افق بتونیتی است.

۲- افق بتونیتی خور- بیابانک با سن ائوسن که بتونیت مهرجان مهم ترین کانسار این افق است. سنگ‌های فراگیر منطقه معدنی که نقش اصلی در تشکیل افق‌های بتونیتی دارند، سنگ‌های آتشفسانی و نفوذی وابسته به اواخر کرتاسه تا تریاکی هستند. ماده معدنی بیشتر به صورت عدسی‌های نامنظم در اندازه‌های گوناگون در همبrij و درون سنگ‌ها و توده‌های آتشفسانی ائوسن زیرین، دیده می‌شود. افزون بر افق‌های بتونیتی یادشده، بتونیت‌های دیگری در ایران مرکزی یافت می‌شوند که در پیوند با سنگ‌های آتشفسانی ائوسن زیرین (هم‌ارز با سازند کرج) نمایان هستند ولی قابل بی‌جوبی در افق خاصی نیستند. از این کانسارها می‌توان به بروزدهای نواحی کرمان و اصفهان اشاره کرد (حجازی و قربانی، ۱۳۷۳).

رشته کوه طشتاپ در جنوب خاوری شهرستان خور و بیابانک از چین خوردگی‌های جوانی به شمار می‌رود که متعلق به دوران سوم زمین‌شناسی هستند. این ناحیه

شكل‌گیری کانی‌های رسی از سنگ‌های آتشفسانی می‌تواند ناشی از هوازدگی، دیاژنر دفنی، دگرگونی مجاورتی، تبلور فاز گازی، فعالیت‌های گرمابی، بیرون آمدن آب‌های زیرزمینی و تهشیست در دریاچه‌های قلایی و ژرفاهای دریا باشد (Cas & Wright, 1988). بتونیت‌ها بیشتر محصول دگرسانی سنگ‌های آتشفسانی با ترکیب بازالت تا داسیت و ریولیت هستند. ویژگی‌های شیمیایی سنگ مادر کنترل کننده اصلی نوع و ترکیب محصولات دگرسانی است (Iijima, 1980; Christidis & Dunham, 1993; 1996). با این حال تأثیر شرایط محیطی را نمی‌توان پذیرفت، برای نمونه شرایط اسیدی به شکل‌گیری کانولینیت به جای اسماکتیت می‌انجامد (Drits & Kossovskaja, 1990).

فرایندهای بتونیت‌زایی به طور کلی به سه دسته کلی تقسیم می‌شوند (Christidis & Dunham, 1996).

- دگرسانی در جای شیشه آتشفسانی در محیط آبی

- دگرسانی گرمابی سنگ‌های آتشفسانی

- دگرسانی دوتریک مواد آذرین که شامل واکنش گاز و بخار با مواد آذرین است. مشاهدات صحرایی و مطالعات آزمایشگاهی نشان می‌دهد که روند تبدیل سنگ‌های آتشفسانی به بتونیت شامل آب‌شویی تعدادی از عناصر از سنگ آتشفسانی و افزوده شدن برخی عناصر دیگر به آن است. زمانی که آب‌شویی عناصر قلایی به صورت کامل انجام نگیرد، کانی‌های زنگولی از ژل اولیه شکل می‌گیرند در حالی که اسماکتیت عموماً محصول مرحله پایانی دگرسانی است (Hay & Guldman, 1987). انتقال سیلیس ممکن است موجب ایجاد بتونیت بدون چند شکل‌های (پلی مورف) سیلیس شود. زمانی که سیلیس اضافه در سیستم باقی بماند اوپال CT در کنار بتونیت‌ها شکل می‌گیرد (Henderson et al., 1971). دگرسانی سنگ‌های آتشفسانی باز معمولاً به تشکیل اسماکتیت وابسته می‌باشد. باز هم این اسماکتیت می‌انجامد در حالی که سنگ‌های مادر اسیدی، اسماکتیت نوع بدلت را ایجاد می‌کنند. به طور کلی عوامل کنترل کننده

سنگ‌های آتشفشاری در اثر دگرسانی در نواحی پست تر تبدیل به بتونیت شده‌اند و ژاسپروپیدها در نواحی با ارتفاع بیشتر قابل دیده می‌شوند.

بررسی‌های صحرایی برونزدهای گستردۀای از ترکیبات سیلیسی را در منطقه گسترهای از معدن کویر خور و بیابانک آشکار می‌کند. این ترکیبات سیلیسی به شکل آگات و ژئود، ژاسپروپید و رگه‌های سیلیسی در کنار سنگ‌های آتشفشاری به صورت پر کننده حفرات و یا به شکل ژاسپروپیدهای توده‌ای در امتداد گسل‌ها دیده می‌شوند. ابعاد این نمونه‌ها از اندازه‌های بسیار ریز میلی متری تا نمونه‌های چند ده سانتی‌متری متغیر است. ترکیب این ژئودها بیشتر از جنس کوارتز و بهمیزان کمتر کلسیت است. شکل ۳-ب تصویر انتشار ژاسپروپیدها در کنار گسل است که گسترش آنها تنها در سمت چپ گسل دیده می‌شود. این مسئله نشان دهنده نقش گسل در تشکیل ژاسپروپیدهای است.

بر پایه نمونه‌برداری‌های صحرایی و بررسی‌های میکروسکوپی و همچنین انجام تجزیه XRD، ترکیب نمونه‌های مورد بررسی کوارتز دما پایین، کالسدونی، کلسیت، دولومیت، هماتیت و باریت است. افزون‌بر موارد یادشده، (Nazari 2004) به وجود ترکیبات آرگونیت، سیدریت، ایندیریت، گوچتیت، و به میزان کمتر سلاودونیت و سلسیت در آگات‌های خور اشاره می‌کند.

شکل ۴ مجموعه کانی‌های موجود در نمونه رسی را که توسط تجزیه XRD شناسایی شده‌اند نشان می‌دهد. این کانی‌ها شامل اسمنکیت به عنوان کانی اصلی به همراه کوارتز، پلازیوکلاز، کلسیت، کاتولینیت و اوپال CT است.

حفرات سنگ‌های آتشفشاری در منطقه مورد مطالعه توسط بادامک‌های کلسیت و سیلیسی پر شده است. در بادامک‌هایی با اندازه کوچک‌تر کلسیت کانی اصلی است در حالی که در نمونه‌هایی با ابعاد چند سانتی‌متر میزان کوارتز قابل توجه است. شکل ۵ رشد کلسیت و کوارتز در کنار هم به صورت یک بادامک نشان می‌دهد. پر شدگی‌های حفرات آتشفشاری‌ها از کلسیت و سیلیس ریزدانه در مقاطع نازک میکروسکوپی قابل توجه است. از آنجا که سیلیس و کلسیت نمی‌توانند در یک محیط رسوبی و در کنار هم رشد کنند، وجود آنها در کنار هم تأمیل برانگیز است. زیرا در حالی که تشکیل بادامک‌های کلسیتی در شرایط رسوبی قلایی انجام می‌شود، شکل‌گیری سیلیس نیازمند محیطی اسیدی است. حاشیه مضرس ظرفی که میان این دو کانی وجود دارد دارد شاهدی بر تعادل ندادشتن این دو کانی است. به نظر می‌رسد که پر شدن حفرات در حوضه رسوبی گراین خور با pH قلایی که مناسب شکل‌گیری بادامک‌های کلسیتی است، صورت گرفته است. تشکیل سیلیس‌های ریزدانه احتمالاً در بازه‌های زمانی کوتاه در اثر خروج یک سیال سیلیسی رخ داده که شرایط pH محیط را تغییر داده است. با توجه به تجمع سیلیس در محل گسل‌ها و درزهای می‌توان دریافت که تزریق سیلیس به محیط از راه گسل‌ها و در دوره‌های فعالیت زمین‌ساختی رخ داده است و پس از پایان این دوره، آرامش در محیط حاکم می‌شود و رسوب کربنات ادامه می‌یابد؛ که این روند می‌تواند به دفعات بسیار تکرار شده باشد.

## ۵- ژئوشیمی

آزمایش XRF و ICP-MS به منظور تعیین میزان عناصر کمیاب و خاکی کمیاب روی ۱۱ نمونه رسی، سیلیسی و آتشفشاری انجام شد که نتیجه آن در جدول ۱ دیده می‌شود.

نمودار (Winchester & Floyd 1977) بر پایه عناصر کمیاب و خاکی کمیاب روی تنظیم شده است. که بر پایه آن، ترکیب سنگ مادر بتونیت‌ها از نوع آندزیت و آندزیت - بازالت است (شکل ۶).

نمودارهای غنی شدگی - تهی شدگی برای نمایش تحرک عناصر در جریان دگرسانی استفاده می‌شوند. در این نمودارها، غنی شدگی / تهی شدگی نسبت به سنگ دیواره نادگرسان سنجیده می‌شود. رابطه زیر برای رسم نمودارهای غنی شدگی -

که موقعیت آن در شکل ۲ دیده می‌شود. بخشی از پهنه ساختاری ایران مرکزی است. منطقه مورد مطالعه با طول جغرافیایی "۱۷°۴۵'۰۵" تا "۱۷°۳۷'۰۳" و عرض "۵۵°۳۳'۰۰" تا "۵۵°۳۷'۰۰" خاوری در شمال خاوری استان اصفهان و جنوب شهرهای مجاور و مسیرهای دسترسی به آنرا نشان می‌دهد. نهشته‌های بتونیتی این منطقه بیشتر به شکل ذخایر عدی‌شکل در منطقه گستردۀ شده‌اند.

منطقه مورد مطالعه در بخش شمالی بلوک یزد قرار گرفته است. گسل‌ها نقش قابل توجهی در ساختار زمین‌ساختی این منطقه دارند. گسل کویر بزرگ با طولی بیش از ۱۰۰۰ کیلومتر مهم‌ترین گسل منطقه است. از گسل‌های اصلی دیگر می‌توان به ترکمنی - اردبیل، چاپدوانی، بابا بزرگی و پیاضه اشاره کرد که روند همه آنها شمال خاور - جنوب باختراست. گسل‌های فرعی منطقه که انشعاباتی از گسل‌های اصلی یادشده هستند، پهنه‌های زمین‌ساختی را قطع و در برخی موارد از آن عبور می‌کنند به گونه‌ای که فعالیت آنها در سنوزوپیک موجب شکل‌گیری سامانه فرازمن (هورست) و فروزمن (گراین) شده است. فعالیت گسل‌های اصلی و کهنه ناحیه (ترکمنی - اردبیل، پشت‌بادام و درونه) در اثنوین به ایجاد فروزمن (گراین) خور و فرازمن (هورست) کلمدر انجام میدهد (هاشمی، ۱۳۷۹).

رخداد راندگی‌های بزرگ در ناحیه بهویله شکل‌گیری و بالا آمدن ارتفاعات جنوب خاور خور حاصل عملکرد سامانه فشارشی موسن در ناحیه بوده است (هاشمی، ۱۳۷۹).

## ۳- روش انجام کار

نقشه ساده شده راه‌ها و زمین‌شناسی منطقه توسط نرم‌افزار Photoshop تهیه شده است. مطالعات سنگ‌نگاری بر روی مقاطع نازک صیقلی توسط میکروسکوپ پلاریزان المپوس مدل BH-2 انجام گرفته است. تجزیه XRD در دانشگاه اصفهان و با استفاده از دستگاه Bruker D8 انجام شد.

برای انجام بررسی‌های شیمیایی ۱۱ نمونه در سه بخش رسی، سیلیسی و آتشفشاری انتخاب شد. ذرات رسی کوچک‌تر از ۲ میکرون در آزمایشگاه جداسازی و برای انجام تجزیه‌های شیمیایی فرستاده شدند. تجزیه‌های سنگ کل به دو روش XRF برای عناصر اصلی و ICP-MS برای بررسی عناصر کمیاب و خاکی کمیاب در دانشگاه ایالتی واشنگتن توسط دستگاه Finnigan Neptune MC-ICP-MS انجام شده است. از کمک ذوب دی‌لیتیم تراپاروات به منظور ذوب نمونه‌ها استفاده شده است. از محلول HF انجام شده است که موجب می‌شود سیلیس و ۹۰٪ Newpet ماده کمک ذوب به صورت فلورید گازی از محیط بیرون بروند. نتایج این تجزیه در جدول ۱ یادآمد است. برای رسم نمودارهای ژئوشیمیایی سنگ کل از نرم افزارهای Excel 2007 و Newpet استفاده شد.

آزمایش ایزوتوپ‌های پایدار اکسیژن و دوتربیم در دانشگاه کرنل ایالات متحده آمریکا توسط دستگاه Finnigan MAT Delta Plus (انجام شد. داده‌های این آزمایش پس از اعمال تصحیحات در جدول ۲ نشان داده شده است.

## ۴- بحث

سنگ‌های آتشفشاری کوه طشتاب خور ساخت بالشی تا توده‌ای دارند که ساخت بالشی در بخش‌های کمتر دگرسان شده به روشنی قابل تشخیص است. این سنگ‌ها در نمونه دستی مزوكرات تا ملانوکرات هستند و به سنگ‌های سیاه و سبز تیره و در نمونه‌های پیشتر دگرسان شده بدرنگ صورتی دیده می‌شوند. در برخی از نمونه‌های دستی، پیروکسن‌های سبزرنگ با ابعاد چند سانتی‌متر با چشم غیر مسلح دیده می‌شوند. این سنگ‌های آتشفشاری به صورت پهنه‌های کمار اتفاع در کنار بتونیت‌ها و ژاسپروپیدها بروزد دارند. شکل ۳-الف نمای کلی منطقه را نشان می‌دهد که

نظری (۱۳۷۴) منشأ سیلیس آگات‌های خور را دگرسانی سنگ‌های آتشفسانی و بیرون آمدن سیلیس در اثر بتونیت‌زایی می‌داند. بر پایه نظریه تأمین سیلیس در اثر بتونیت‌زایی، در زمان دگرسانی که احتمالاً همزمان یا بی‌درنگ پس از تجمع توف‌های آتشفسانی است، فرایند تشکیل بتونیت مطابق رابطه  $\text{Si}(\text{OH})_{4(\text{gel})} + \text{Mg}^{2+} \rightarrow \text{Si}(\text{OH})_4 + \text{Al}^{3+} + \text{Na}^+$

در سمت راست واکنش افزون بر بتونیت مقدار قابل توجهی ژل سیلیسی آزاد می‌شود. با این وجود تشکیل ترکیبات سیلیسی به فرم ژنود در معادن بتونیت تاکون گزارش نشده است و سیلیس آزاد شده معمولاً به صورت ذرات ریزدانه و یا لایه‌های نازک سیلیسی در کنار بتونیت‌ها باقی می‌مانند.

بررسی‌های انجام‌شده در مورد منع تأمین سیلیس در رگه‌های سیلیسی و آگات‌های خور نشان می‌دهد با توجه به این مسئله که سنگ میزان در منطقه مورد بررسی از نوع حد واسط است، فرایند تجزیه سطحی و آزاد شدن سیلیس در اثر تشکیل بتونیت‌زایی نمی‌تواند چنین حجم عظیمی از سیلیس را در منطقه تأمین کند. به همین دلیل نظریه دوم که تأمین سیلیس توسط سیال‌های گرمابی است می‌تواند فرایند تشکیل آگات در منطقه را توجه کند. احتمال نقش سیال‌های ماقمایی در تأمین سیلیسیم در مطالعه بسیار ضعیف است. زیرا ماقمایی سازنده سنگ میزان درصد آب پایین دارد. همچنین، ترکیبات سیلیسی تولید شده از سیال‌های ماقمایی باید درصد قابل توجهی از آب و عناصر کمیاب را در خود داشته باشد، که نمونه‌های مورد بررسی بدون این ویژگی هست.

## ۶- بررسی ایزوتوپ‌های پایدار

استفاده از ایزوتوپ‌های پایدار در قیمت‌ترین روش در تعیین منشأ سیال گرمابی است. وجود آب به عنوان ترکیب ثابت در دگرسانی‌های گرمابی موجب می‌شود، استفاده از ایزوتوپ‌های اکسیژن و دوتیریم بهترین گرینه برای تعیین ماهیت سیال باشد.

برای بررسی دقیق‌تر روی دو نمونه سیلیسی و شش نمونه بتونیت تجزیه ایزوتوپ‌های پایدار اکسیژن و دوتیریم انجام شد. نتیجه این آزمایش‌ها پس از اعمال تصحیحات روی داده‌های مربوط به نمونه‌های سیلیسی و بتونیتی در جدول ۲ آورده شده است.

هیدروژن یکی از سازنده‌های فرعی سنگ‌های است، بنابراین در فرایندهای دگرسانی با نسبت‌های بسیار بالای سیال به سنگ، ترکیب ایزوتوپی هیدروژن سنگ‌ها و کانی‌ها نسبت به ترکیب ایزوتوپی هیدروژن سیال‌های بر هم کنش کننده، بسیار حساس است و به سرعت دستخوش تغییر می‌شود. از سوی دیگر، اکسیژن  ${}^8\text{O}$  درصد وزنی کانی‌ها و سنگ‌های رایج را تشکیل می‌دهد و بنابراین به جز در نسبت‌های بسیار بالای سیال به سنگ در طول دگرسانی در برابر نسبت ایزوتوپی اکسیژن سیال‌های بر هم کنش کننده حساسیت کمتری نشان می‌دهد (Rollinson, 1993).

نسبت‌های  $\text{D/H}$  و  ${}^{18}\text{O}/{}^{16}\text{O}$  نسبت به یک استاندارد به نام میانگین استاندارد آب‌های اقیانوسی (SMOW)، اندازه‌گیری و برحسب بخش در هزار (‰) بیان می‌شوند؛ و با  $\text{D}$  و  ${}^{18}\text{O}$  نشان داده و به صورت زیر محاسبه می‌شوند:

$$\text{D}\delta = [ (\text{D}/\text{H})_{\text{sample}} - (\text{D}/\text{H})_{\text{SMOW}} ] \times 10^3 / [ (\text{D}/\text{H})_{\text{SMOW}} ]$$

$$\delta^{18}\text{O} = [ ({}^{18}\text{O}/{}^{16}\text{O})_{\text{sample}} - ({}^{18}\text{O}/{}^{16}\text{O})_{\text{SMOW}} ] \times 10^3 / [ ({}^{18}\text{O}/{}^{16}\text{O})_{\text{SMOW}} ]$$

به دلیل نبود آب در ساختار کانی کوارتز، تفریق ایزوتوپی صورت گرفته میان این کانی و محلول‌های گرمابی تنها روی نسبت ایزوتوپی  $\text{O}^{18}/\text{O}^{16}$  کوارتز تأثیر به سزاوی است، بنابراین تصحیح ایزوتوپی برای محاسبه ترکیب ایزوتوپی محلول گرمابی در تعادل با کوارتز تنها برای ترکیب  $\text{O}^{18}$  این کانی انجام شده است.

با توجه به این موضوع که توزیع ایزوتوپ میان کانی- سیال متاثر از تغییرات دمایی است، استانداردهای گوناگونی برای ایزوتوپ اکسیژن میان کوارتز و سیال در دماهای مختلف ارائه شده است. رابطه Clayton et al. (1972) به منظور محاسبه توزیع

نهی‌شده‌گی مورد استفاده قرار می‌گیرد (شکل ۷). درصد ( $\Delta\text{Ci/Ci}$ ) در این رابطه نهی‌شده‌گی یا غنی‌شده‌گی عناصر نسبت به سنگ اولیه را نشان می‌دهد،  $\rho^0/\rho^A$  نسبت چگالی در سنگ دگرسان به سنگ مادر و  $\text{Ci}^A/\text{Ci}^0$  نسبت عنصر در سنگ دگرسان به سنگ مادر را نشان می‌دهد (Fulignati et al., 1999).

روند کلی در هر دو مجموعه سیلیسی و بتونیتی موازی با سنگ مادر است. میزان نهی‌شده‌گی در نمونه‌های رسی کم و در نمونه‌های سیلیسی بسیار شدید است. در نمونه‌های رسی همه عناصر کمیاب به جز  $\text{Cs}$  نهی‌شده‌گی نشان می‌دهند. عناصر سنگ دوست بزرگ‌بیون شامل  $\text{Ba}$ ,  $\text{Rb}$  و  $\text{Sr}$  بیشترین میزان نهی‌شده‌گی را نشان می‌دهند، مس دچار بیشترین مقدار نهی‌شده‌گی میان عناصر فازی شده است. فلزات واسطه نیکل، کروم و وانادیم نهی‌شده‌گی کمتری را نسبت به مس نشان می‌دهند، تحرک این فلزات نیازمند دمای بالای دگرسانی است (Pokrovsky et al., 2005). در پهنه سیلیسی نهی‌شده‌گی عناصر بسیار شدید است. همانند نمونه‌های رسی، تنها عنصر غنی‌شده در این رخساره عنصر سزیم است.  $\text{Zr}$  و  $\text{Pb}$  نهی‌شده در این رخساره عنصر سزیم است.  $\text{Sr}$  و  $\text{U}$  نهی‌شده‌گی کمتری دارند. بی‌هنگاری مثبت استرانسیم احتمالاً به دلیل جایگزینی این عنصر به جای عنصر کلسیم است که در کنار ترکیبات سیلیسی شکل گرفته است. همچنین میزان عنصر مس در این رخساره بی‌هنگاری مثبتی از خود نشان می‌دهد. میزان تغییرات در فلزات واسطه احتمالاً ناشی از رفتار سیال سیلیسی و انتقال فلزات متخرک توسط این سیال در فرایند دگرسانی گرمابی است. عنصر مس با وجود الکترونگانگوییه بالا به دلیل ایجاد بهم ریختنگی، در شبکه بلوری سیلیکات‌ها و ناپایداری انرژی به راحتی وارد شبکه بلوری این کانی‌ها نمی‌شود (Mason & Moore, 1982). غنی‌شده‌گی از عنصر  $\text{Cu}$  در برابر نهی‌شده‌گی از  $\text{Ni}$  و  $\text{Cr}$  که تحرک پایینی دارند نشان می‌دهد که عنصر مس احتمالاً در جریان فعالیت گسل‌ها و طی فرایند گرمابی وارد محیط شده است.

در مجموع پدیده شاخص این دگرسانی افزایش میزان سزیم در رخساره‌های دگرسانی است. سزیم از عناصر بزرگ بیون است که معمولاً در ساختار کانی‌ها، جایگزین پتانسیم می‌شود. غنی‌شده‌گی این عنصر برخلاف نهی‌شده‌گی دیگر عناصر سنگ دوست در پهنه‌های دگرسانی موضوعی تأمل برانگیز است. جذب سزیم در کانی مونت‌موریلوبیت توسط پژوهشگران بسیاری مورد بررسی قرار گرفته است. پژوهش در این زمینه از این رو اهمیت بیشتری می‌یابد که سزیم به عنوان یکی از محصولات واپاشی اورانیم در نیروگاه‌های اتمی ایجاد می‌شود و کنترل این عنصر از دید زیست‌محیطی اهمیت دارد. جذب انتخابی سزیم در ساختار مونت‌موریلوبیت در ارتباط با طول محور  $C$  این کانی (Eliason, 1966) و بار کاتایون‌های اکتاذر (Iwasaki & Onodera, 1993) تعریف می‌شود. بتونیت سدیم دار به دلیل داشتن فضای میان لایه‌ای قابل توجه، پتانسیل خوبی برای جذب این عنصر دارد. بیرون آمدن آهن فریک از محیط و افزایش آلومینیم به جای سیلیسیم در مونت‌موریلوبیت نیز موجب ایجاد بار منفی در موقعیت اکتاذری می‌شود و جذب سزیم را افزایش می‌دهد. دو ایزوتوپ  ${}^{137}\text{Cs}$  و  ${}^{135}\text{Cs}$  از محصولات واپاشی اورانیم ۲۳۵ هستند. غنی‌شده‌گی از این عنصر که از محصولات واپاشی اورانیم است، به همراه وجود چشمهدی‌های آب گرم و فعالیت‌های زمین گرمابی منطقه (Yousefi et al., 2007) احتمال وجود تأثیر ضعیف عناصر رادیواکتیو در منطقه را تقویت می‌کند.

بررسی میانبارهای سیال در گیر روش متداولی برای تعیین دما و منشأ سیال‌های سازنده کانی‌هاست. با این حال استفاده از این روش به علت کوچک بودن اندازه میانبارهای سیال در گیر در مقاطع مورد بررسی امکان‌پذیر نیست. به همین علت و با توجه به این مسئله که همه سیال‌های در گیر از نوع تک فازی مایع هستند و در شمار انواع دما پایین قرار می‌گیرند، بیشینه دمای تشکیل این نمونه‌ها ۱۰۰ درجه سانتی گراد تعیین شد. بر پایه مطالعات Gotze et al. (2001) که کمترین دمای تشکیل آگات‌های  ${}^{135}\text{Cs}$  درجه سانتی گراد ارزیابی کردند، دمای تشکیل آگات‌های منطقه خور و بیانک میان ۵۰ تا ۱۰۰ درجه سانتی گراد برآورد می‌شود.

این روش را می‌توان برای بتونیت‌هایی که در محظه‌های باز با نسبت آب به سنگ بالا تشکیل شده‌اند، استفاده کرد. از شرایط دیگر استفاده این رابطه لزوم تأثیر سیال‌های جوی در شکل‌گیری بتونیت‌هاست. شرایط دگرسانی سطحی و دگرسانی گرمابی دما پایین را می‌توان در این رابطه بررسی کرد.

با قرار دادن مقدار میانگین ۶ نمونه مورد مطالعه در رابطه بالا دمای ۳۵۶ درجه کلوین معدل ۸۳ درجه سانتی گراد به دست می‌آید که در محدوده دمایی مورد انتظار ۱۰۰ تا ۱۰۵ درجه قرار می‌گیرد. این محدوده دمایی بر پایه مطالعات نمونه‌های سیلیسی تعیین شده است.

میزان اکسیژن و دوتیریم اندازه گیری شده مربوط به نمونه‌های اسماکتیت است و برای محاسبه ترکیب سیال سازنده کانی باید تصحیحاتی روی این داده‌ها صورت گیرد. منابع گوناگونی برای توزیع ایزوتوپ اکسیژن و دوتیریم میان کانی اسماکتیت و سیال ارائه شده است که در ادامه بهترخی از آنها اشاره می‌شود.

از رابطه Shepard & Gilg (1996) برای تصحیح دوتیریم افزون بر کائولینیت، برای همه انواع کانی‌های رسی می‌توان استفاده کرد.

$$1000 \ln \alpha_{(\text{Smectite-Water})}^O = +2.67 \times 10^6 \times T^{-2} - 4.82 \quad (\text{Yeh \& Savin, 1977})$$

$$1000 \ln \alpha_{(\text{Smectite-Water})}^O = +2.55 \times 10^6 \times T^{-2} - 4.04 \quad (\text{Shepard \& Gilg, 1996})$$

$$1000 \ln \alpha_{(\text{Smectite-Water})}^D = -45.3 \times 10^3 \times T^{-1} + 94.7 \quad (\text{Capuano, 1992})$$

$$1000 \ln \alpha_{(\text{Kaolinite-Water})}^D = -2.2 \times 10^6 \times T^{-2} - 7.7 \quad (\text{Shepard \& Gilg, 1996})$$

جدول ۲ داده‌های تصحیح شده ایزوتوپی بر پایه رابطه (Shepard & Gilg, 1996) را برای ایزوتوپ‌های اکسیژن ۱۸ و دوتیریم نشان می‌دهد. تصحیحات بر پایه دمای ۸۳ درجه سانتی گراد انجام شده است. از این رو میزان  $O^{18}$  در نمونه‌های اسماکتیت مورد بررسی میان  $-11.3 / -8.1$  تا  $-8 / -7.5$  در این نمونه‌ها از  $-9.7 / -8$  تا  $-8.7 / -7.5$  متغیر است که نشان می‌دهد ترکیب سیال سازنده بتونیت از نوع آب‌های جوی است و منشأ یکسانی با نمونه‌های سیلیسی دارد.

شكل ۸ قرار گیری ایزوتوپ‌های اکسیژن و دوتیریم را در نمونه‌های بتونیتی و سیلیسی نشان می‌دهد. بر پایه این نمونه‌ها سیال گرمابی سازنده بتونیت‌ها از نوع آب‌های جوی است و منشأ یکسانی با سیال‌های سازنده ترکیبات سیلیسی دارد.

شكل ۹ ترکیب ایزوتوپی اکسیژن و دوتیریم در کائولینیت و اسماکتیت را نشان می‌دهد (Savin & Epstein, 1970; Lawrence & Taylor, 1971; Taylor, 1974). از این نمونه‌ها ایزوتوپی به خط مربوط به آب‌های جوی نزدیکتر هستند زیرا تبدلات ایزوتوپی افرایش دما، کاهش می‌یابد (Faure & Mensing, 2005). نمونه‌های مورد بررسی با افرایش دما، کاهش می‌یابد (Faure & Mensing, 2005). نمونه‌های گرمابی قرار می‌گیرند. بر پایه داده‌های ایزوتوپی می‌توان نتیجه گرفت که دمای سیال‌های جوی با نفوذ در گسل‌ها افزایش یافته و قابلیت حل سیلیس را پیدا کرده‌اند. در مرحله بعدی و بر اثر فعالیت زمین‌ساختی منطقه این سیال‌ها که دمای آنها افزایش یافته است وارد محیط می‌شوند و به ایجاد دگرسانی گرمابی در منطقه می‌انجامند.

## ۷- نتیجه گیری

بنتونیت‌های معدن کویر خور و بیابانک بر اثر دگرسانی سنگ‌های آتشفسانی فوران یافته در فروزنمین خور ایجاد شده‌اند. این فوران که مربوط به دوره ائوسن است به تشکیل سنگ‌های آتشفسانی با ترکیب آندزیت- بازالت انجامیده است. وجود تنش‌های تراکمی در منطقه پس از ائوسن سبب فعالیت گسل‌های منطقه شده که در ادامه، بیرون‌ریزی سیال‌های گرمابی- سیلیسی را به همراه داشته است. شکل گیری آگات‌ها و ژئوهای منطقه خور حاصل این فعالیت‌های گرمابی است. کانی‌های موجود در ترکیب ژئوهای خور کوارتز، کلسیدونی، کلسیت، دولومیت و باریت است. سیال‌های جوی که از راه گسل‌های منطقه به ژرف‌انتقال پیدا کرده‌اند، بر اثر افزایش حرارت قابلیت اتحال و حمل سیلیس را پیدا کرده‌اند.

اسکیژن میان آب و کوارتز استفاده شد.

$$10^3 \ln \alpha_{(\text{Qz-H}_2\text{O})} = (3.38 \times 10^{10}) / T^2 - 2.9$$

۸ اندازه گیری شده در کانی کوارتز به طور مستقیم نشان‌دهنده میزان D محول‌های گرمابی است، زیرا این نسبت مربوط به آب محبوب در میانبارهای سیال کوارتز است و همان‌گونه که اشاره شد محتوای این میانبارها نمونه واقعی محول‌های سازنده است.

کانی اسماکتیت به دلیل گوناگونی ساختاری گسترده، پیچیدگی بیشتری نسبت به دیگر رس‌ها دارد. همچنین محیط شکل گیری این کانی بسیار متغیر است (Grim & Guven, 1978). دمای تشکیل بتونیت‌ها در محیط‌های گرمابی طبیعی عموماً میان ۲۵ تا ۲۰۰ درجه سانتی گراد گزارش شده است (Nol, 1936). با این وجود Cole (1985) مرز پایینی دمای تشکیل انواعی از اسماکتیت که در ژرفای اقیانوس‌ها تشکیل شده‌اند ۳ درجه سانتی گراد و (Oneil & Kharaka, 1976) آن را در حدود صفر درجه گزارش کرده‌اند. همچنین دمای پیشینه تشکیل این کانی را در طول تکمیل گراد گزارش کرده‌اند. به طور معمول در دمای بالاتر از ۲۰۰ درجه سانتی گراد اسماکتیت‌ها به مخلوطی لايه‌ای از کلریت و کانی‌های دیگر تبدیل می‌شوند.

توزیع ایزوتوپ‌های پایدار اسکیژن و دوتیریم میان کانی و سیال تابع دماست و می‌توان از نقش سنگ مادر در این مورد چشم پوشی کرد، بهویژه زمانی که نسبت حجم سیال به سنگ بالا باشد (Savin, 1980). در مراحل اولیه دگرسانی و دمای سطحی زمین تبادل اسکیژن و دوتیریم ساختاری ناچیز است (Savin & Lee, 1988). در طول تشکیل کانی‌های رسی این کانی‌ها از  $O^{18}$  و  $H^{1}$  می‌شوند که در این میان تبادل اسکیژن آنسته‌تر از دوتیریم رخ می‌دهد (Oneil & Kharaka, 1976).

کانی‌های رسی در طبیعت با ناخالصی‌های مختلفی همراه هستند. این ناخالصی‌ها با توجه به ترکیب سنگ اولیه و محیط تشکیل می‌توانند شامل کلسیت، سیلیس بی‌شکل، مواد آلی، اکسیدهای آزاد فلزی و انواع کانی‌های رسی فرعی باشند. از این رو، روش‌های مختلفی برای خالص‌سازی این کانی‌ها پیشنهاد شده است که با توجه به نوع ناخالصی‌ها که توسط تعزیزه XRD مشخص شد، از روش‌های زیر برای حذف این ناخالصی‌ها استفاده شد.

- حذف مواد آلی توسط آب اسکیژن ۳۰ درصد در دمای ۲۵ درجه سانتی گراد (Jakson, 1979; Yeh, 1980)

- حذف سیلیس بی‌شکل (آمورف) توسط جوشاندن در  $\text{Na}_2\text{CO}_3$  با غلظت ۵ درصد به مدت ۱۵ دقیقه (Jakson, 1979).

- حذف کلسیت،  $\text{NaOAc}-\text{HOAc}$ , pH 4.8 (Jakson, 1979; Yeh, 1980) ۲m,

- حذف اکسید آهن آزاد به روش اتحال در سیترات سدیم - بی‌کربنات - دی‌تیونات در دمای  $80^\circ\text{C}$  (Jakson, 1979; Yeh, 1980)

- در پایان نمونه‌ها در دمای ۱۸۰ درجه سانتی گراد در شرایط خلا قرار می‌گیرند تا آب میان لايه‌ای آنها حذف شود (Decher et al., 1996; Kolarikova & Hanus, 2008).

در حالی که برای تعیین دمای شکل گیری بیشتر کانی‌ها احتیاج به بررسی یک زوج کانی است، کانی‌هایی که اتم اسکیژن در آنها در موقعیت‌های متفاوتی قرار می‌گیرد می‌توانند به عنوان یک کانی مستقل، دماستنجی (ترمومتري) شوند. این روش را نخستین بار (Hamza & Epstein, 1980) برای مطالعه میکاها و کائولینیت به کار بردند. در کانی اسماکتیت اسکیژن در دو موقعیت اکتاendir و ترائادر قرار دارد. از این رو (Delgado & Reyes, 1996) رابطه زیر را بر پایه میزان اسکیژن و دوتیریم کانی اسماکتیت برای تعیین دمای تشکیل این کانی به عنوان یک دماستنج مستقل ارائه کردند.

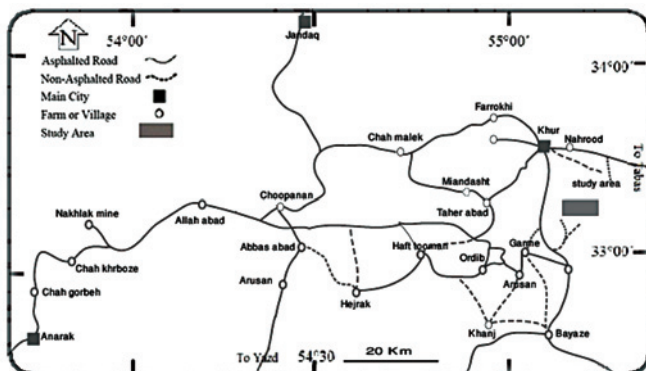
$$3.54 \times 10^6 \times T^{-2} = \delta^{18}\text{O}_{\text{Sm}} - 0.125 \delta D_{\text{Sm}} + 8.95 \quad (0-150^\circ)$$

گرفته است. با تلفیق داده‌های بدست آمده و رویدادهای زمین‌ساختی دوران سوم می‌توان نتیجه گرفت تنش‌های کششی ائوسن در منطقه مورد مطالعه مانند بسیاری از نواحی ایران مرکزی موجب شکل‌گیری گسل‌های عادی و سامانه فرازامین و فروزامین شده است. در میوسن، تنش‌های تراکمی موجب فعالیت این گسل‌ها به صورت وارون شده که بیرون‌ریزی سیال‌های سیلیسی و شکل‌گیری بتونیت‌ها را در منطقه مورد مطالعه به دنبال داشته است.

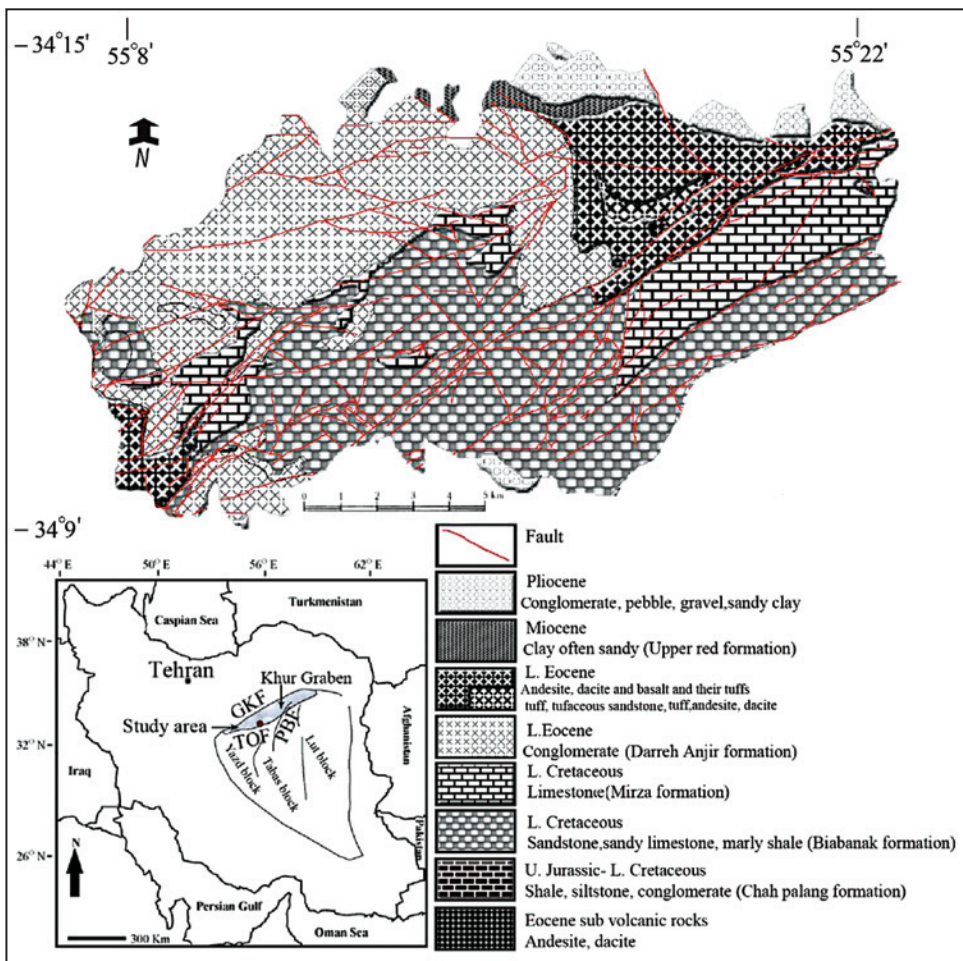
### سپاسگزاری

نویسنده‌گان از دانشگاه اصفهان برای حمایت‌های مالی سپاسگزاری می‌کنند.

و با انتقال آن به سطح در دماهی میان ۵۰ تا ۱۰۰ درجه سانتی‌گراد، این ترکیبات سیلیسی را در کار گسل‌ها تهشیین می‌کنند. بیرون‌ریزی این سیال‌ها در محیط رسوبی به افزایش دمای محیط و تسريع فرایند بتونیت‌زایی در این حوضه انجامیده است. بررسی‌های ژئوشیمیایی نشان می‌دهد همه عناصر فرعی به جز سزیم در فرایند دگرسانی شده و از محیط بیرون رفته‌اند. در این میان، عناصر سنگ‌دست بزرگ‌بیون بیشترین جایه‌جایی را در نمونه‌های بتونیتی نشان می‌دهند و عناصر مس، استرانسیم، زیرکنیم و سرب کمترین میزان تعرك را در میان ترکیبات سیلیسی دارند. بررسی ایزوتوب‌های پایدار نشان می‌دهد که تشکیل این کانی‌ها در حدود دمای ۸۳ درجه سانتی‌گراد رخ داده و سیال دگرسان‌کننده از آب‌های جوی منشأ



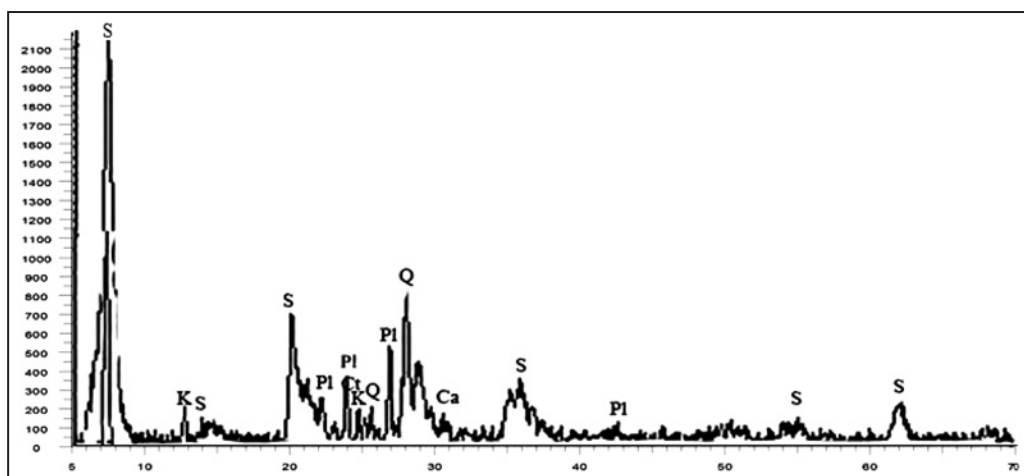
شکل ۱- موقعیت جغرافیایی منطقه و راههای ارتباطی آن با شهرستان‌های همسایه  
(برگرفته از اطلس گیاتاشناسی، ۱۳۸۴)



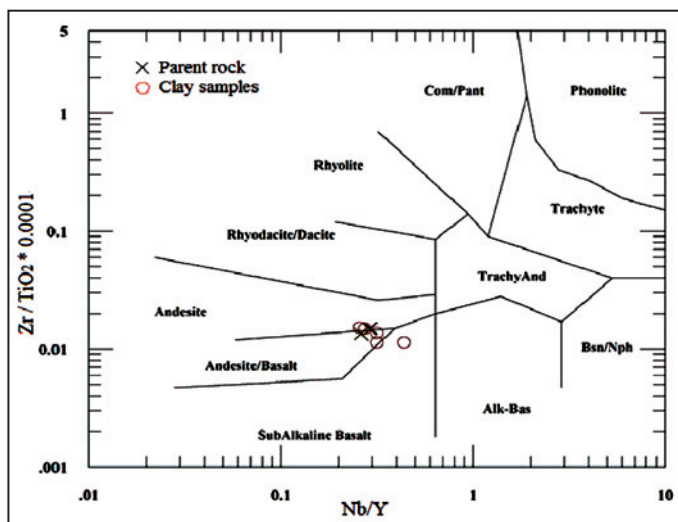
شکل ۲- نقشه ساده‌شده زمین‌شناسی منطقه مورد مطالعه (برگرفته از Technoexport, 1984).  
بعض هاشور خورده فروزامین خور را در میان گسل‌های GKF درونه، TOF ترکمنی-اردیب و PBF پشت‌بادام نشان می‌دهد.



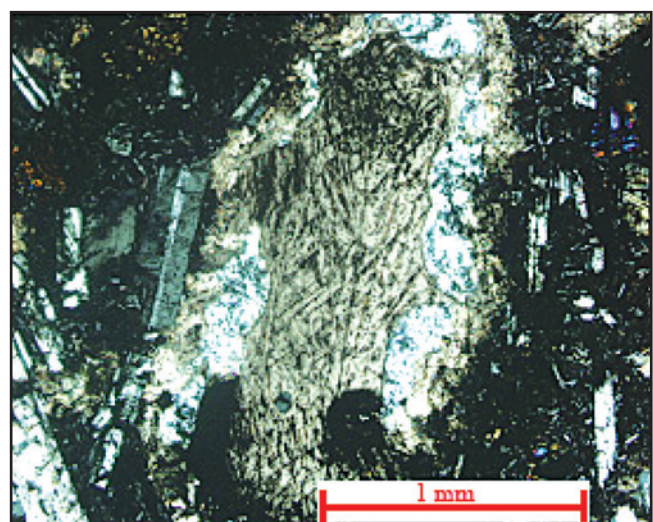
شکل ۳- (الف) سنگ مادر آتشفسانی در کنار ژاسپروییدها در ارتفاعات و بتونیت‌ها در دامنه؛ (ب) انتشار ژاسپروییدها به یک سوی گسل.



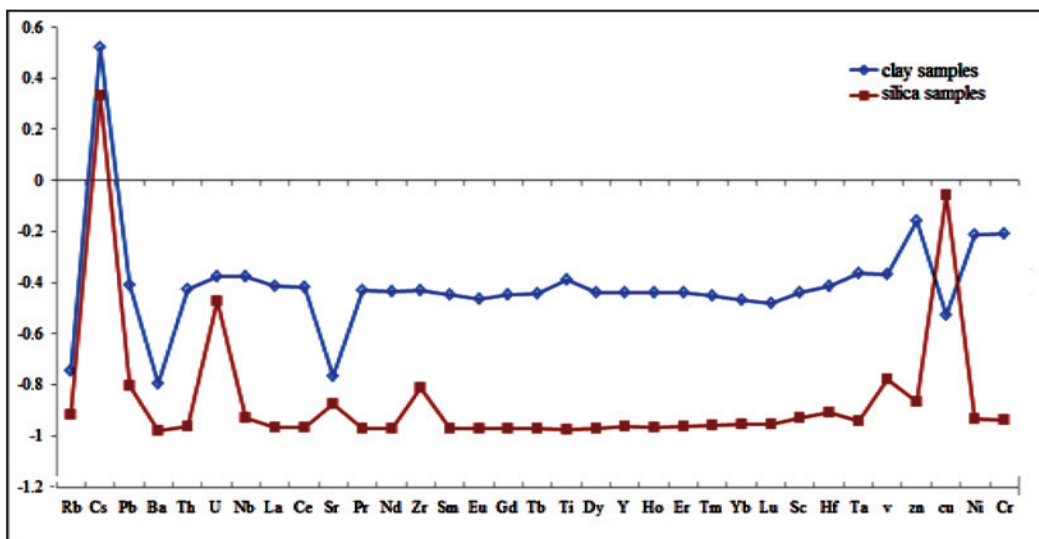
شکل ۴- نتایج تجزیه XRD در نمونه‌های رسی برداشت شده ذرات کوچکتر از ۲ میکرون.  
اسمکیت، Q=کوارتز، K=کائولینیت، Pl=پلاژیوکلاز، Ca=کلیست، CT=اوپال و Dolomit=S



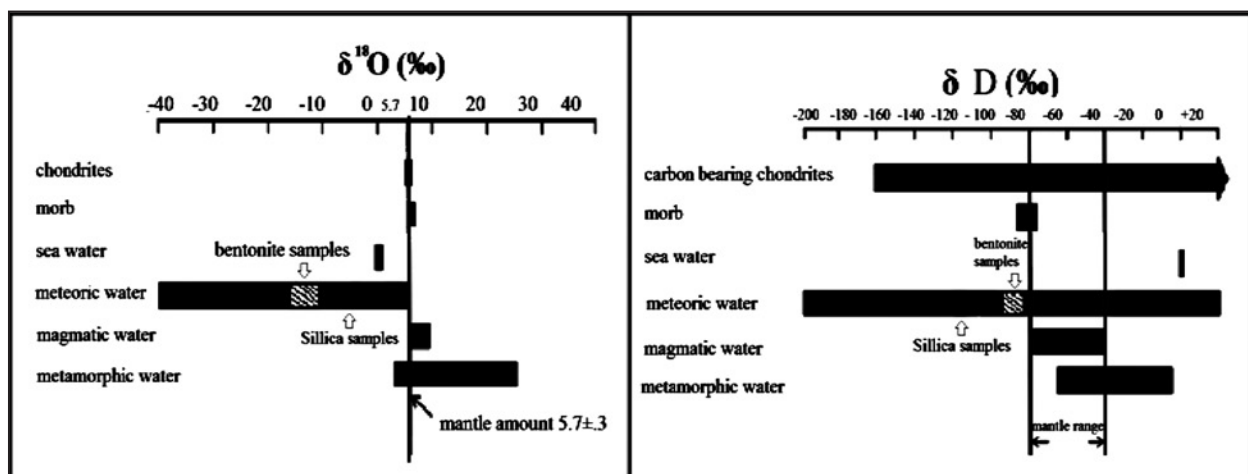
شکل ۶- در نمودار  $Zr/TiO_2 \times 0.0001$  در برابر  $Nb/Y$  (Winchester & Floyd, 1977) نمونه‌های مورد بررسی در ناحیه آندزیت و آندزیت- بازالت رسم می‌شوند.



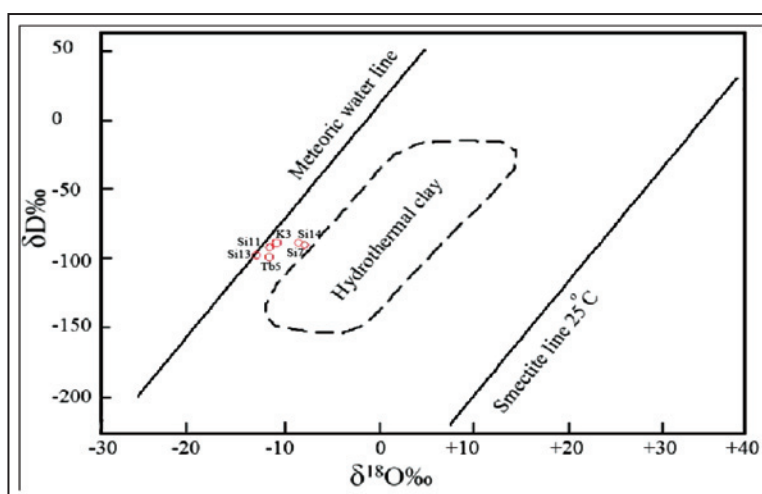
شکل ۵- پرشدگی حفره بازالت توسط کلیست و کوارتز ریز دانه در کنار یکدیگر (XPL).



شکل ۷- نمودار غنی‌شدگی- تهی‌شدگی برای نمونه‌های رسی و نمونه‌های سیلیسی.



شکل ۸- مقادیر استاندارد برای جدایش اکسیژن و دوتریم در آب‌های مختلف (برگرفته از Rollinson, 1993) و قرارگیری ایزوتوپ‌های اکسیژن و دوتریم در نمونه‌های بتونیت و سیلیس در محدوده آب‌های جوی.



شکل ۹- ترکیب ایزوتوپی سیال در کانی‌های کانولینیت و مونت موریلونیت نمونه‌های بتونیت معدن کویر نزدیک به محدوده رس‌های گرمابی قرار می‌گیرند (Faure & Mensing, 2005).

جدول ۱- نتایج تجزیه سنگ کل در نمونه‌های معدن کویر به تفکیک سنگ مادر، نمونه‌های سیلیسی و بتونیت‌ها

Volcanic Samples				Silica Samples				Clay Samples						
Sample	Wt%	Si3	Si4	Tb14	Tb15	Si1	Si10	Tb16	Tb17	Si7	Si8	Si13	Si14	Si16
SiO <sub>2</sub>	55.41	55.53	54.5	52.78	88.96	86.87	88.24	88.88	46.39	55.75	51.86	53.70	52.68	
TiO <sub>2</sub>	0.879	0.879	0.89	0.904	0.026	0.025	0.03	0.025	0.784	0.817	1.140	0.94	0.88	
Al <sub>2</sub> O <sub>3</sub>	16.46	16.51	16.12	15.40	0.86	0.68	0.82	0.91	15.57	16.73	19.50	19.40	17.43	
FeO*	6.57	6.28	6.72	7.31	2.97	2.97	2.21	0.70	8.04	6.65	4.39	4.48	5.13	
MnO	0.092	0.092	0.108	0.138	0.053	0.112	0.07	0.036	0.174	0.075	0.08	0.01	0.06	
MgO	3.19	3.32	3.99	5.44	0.82	0.65	0.57	0.25	3.79	2.22	2.18	2.96	2.68	
CaO	8.80	8.81	8.78	8.72	1.91	3.64	3.39	4.61	6.41	4.00	3.01	1.19	2.28	
Na <sub>2</sub> O	2.98	2.96	2.96	2.94	0.23	0.13	0.17	0.16	2.60	2.53	2.52	2.15	2.12	
K <sub>2</sub> O	3.12	3.08	2.96	2.73	0.11	0.09	0.11	0.13	1.42	1.22	1.25	0.53	1.21	
P <sub>2</sub> O <sub>5</sub>	0.38	0.38	0.4	0.43	0.01	0.02	0.017	0.02	0.32	0.3	0.44	0.26	0.32	
Sum(%)	97.89	97.85	97.43	96.80	95.96	95.18	95.62	95.73	85.50	90.28	86.37	85.62	84.81	
LOI	2.28	2.51	2.89	3.88	3.67	3.71	3.61	3.45	13.41	9.02	12.87	14.24	14.00	
REEs ppm	Si 3	Si 4	Tb14	Tb 15	Si 1	Si 10	Tb16	Tb 17	Si 7	Si 8	Si13	Si 14	Si 16	
La	21.17	20.81	21.12	21.40	0.67	0.82	0.847	1.02	22.96	22.26	19.67	18.82	18.43	
Ce	43.36	42.66	43.56	44.68	1.41	1.58	1.73	2.21	45.54	46.22	41.79	36.58	37.81	
Pr	5.52	5.45	5.58	5.77	0.16	0.18	0.20	0.27	5.64	5.80	5.47	4.36	4.83	
Nd	22.36	22.09	22.79	23.92	0.64	0.72	0.78	0.98	22.44	23.21	23.09	17.17	19.84	
Sm	5.08	4.98	5.15	5.38	0.14	0.16	0.17	0.20	4.82	5.08	5.29	3.72	4.50	
Eu	1.43	1.43	1.47	1.53	0.03	0.04	0.05	0.07	1.36	1.45	1.48	0.97	1.22	
Gd	4.52	4.49	4.58	4.73	0.13	0.17	0.16	0.18	4.20	4.58	4.76	3.30	4.00	
Tb	0.68	0.69	0.69	0.70	0.02	0.02	0.02	0.03	0.64	0.70	0.72	0.49	0.60	
Dy	4.05	3.87	3.91	3.86	0.10	0.12	0.13	0.18	3.70	4.02	4.13	2.74	3.49	
Ho	0.77	0.77	0.77	0.77	0.02	0.02	0.03	0.04	0.73	0.80	0.81	0.53	0.68	
Er	2.06	2.03	2.01	1.99	0.07	0.07	0.09	0.12	2.02	2.10	2.10	1.36	1.76	
Tm	0.30	0.30	0.29	0.28	0.01	0.01	0.019	0.02	0.29	0.30	0.29	0.19	0.24	
Yb	1.82	1.82	1.78	1.70	0.08	0.08	0.1	0.13	1.78	1.82	1.67	1.10	1.39	
Lu	0.29	0.29	0.28		0.01	0.01	0.01	0.02	0.30	0.29	0.25	0.16	0.21	
Traces ppm	Si 3	Si 4	Tb14	Tb 15	Si 1	Si 10	Tb16	Tb 17	Si 7	Si 8	Si13	Si 14	Si 16	
Rb	79.3	76.8	70.3	54.8	8.0	6.8	7.2	6.8	35.2	28.4	26.6	20.5	36.5	
Sr	1012	1062	966	834	261	143	149	43	412	434	370	404	249	
Ba	495	494	503	519	14	18	13.3	8	226	213	190	52	170	
Th	6.10	5.94	5.86	5.54	0.18	0.19	0.26	0.40	5.89	6.31	5.04	4.92	5.53	
Nb	5.85	5.73	5.0	5.08	0.53	0.48	0.48	0.42	4.99	5.60	6.50	5.77	5.56	
Y	20.01	19.71	19.6	19.37	0.63	0.67	0.91	1.43	19.44	20.41	20.42	13.23	17.48	
Hf	3.57	3.54	3.41	3.35	0.42	0.34	0.39	0.41	3.06	3.38	3.71	3.28	3.42	
Ta	0.41	0.40	.33	0.34	0.02	0.02	0.02	0.03	0.36	0.41	0.44	0.39	0.38	
Cs	2.22	2.03	2.96	4.34	7.05	5.30	4.69	1.72	5.21	3.21	3.80	8.65	15.01	
U	1.62	1.61	1.51	1.46	0.95	1.41	1.01	0.67	1.56	1.45	2.10	1.25	1.67	
Ni	31	33	34	38	5	3	2	0	40	37	52	49	41	
Cr	89	98	114	154	7	10	9	9	167	106	133	219	115	
Sc	25	25	27	30	4	4	3.5	2	26	24	21	26	17	
V	214	211	218	229	80	87	59	10	195	194	252	293	203	
Ga	17	18	18	18	2	2	2	2	17	18	21	22	18	
Cu	80	69	63	40	107	96	73	16	50	63	32	42	59	
Zn	81	84	80	75	13	13	12	12	86	87	96	118	166	
Pb	13.47	13.83	13.3	12.71	2.00	1.66	3.21	5.97	12.57	12.04	11.12	11.76	17.05	
Zr	132	130	128	122	36	28	29	24	119	122	130	107	120	

جدول ۲- مقادیر ایزوتوبی اکسیژن و دوتریم در نمونه‌های سیلیسی و بتونیتی پس از تصحیح.

Sample	Weight (mg)	$\delta^{18}\text{O}$ vs. SMOW	$\delta^2\text{H}$ vs. SMOW
<b>TB5(Sm)</b>	0.445	-11.81	-97.89
<b>K3(Sm)</b>	0.401	-11.01	-87.51
<b>Si7(Sm)</b>	0.334	-8.65	-87.72
<b>Si11(Sm)</b>	0.384	-11.78	-90.51
<b>Si13(Sm)</b>	0.335	-13.32	-96.35
<b>Si14(Sm)</b>	0.355	-8.11	-89.52
<b>Ag(Si)</b>	1.537	-1.16	-119.6
<b>s1(Si)</b>	1.26	-5.37	-118

## کتابنگاری

حجازی، م. و قربانی، م.: ۱۳۷۳- بتنویت- زئولیت، انتشارات سازمان زمین‌شناسی و اکتشافات معدنی کشور، ۱۲۸ ص.

گیتاشناسی اطلس راههای ایران، ۱۳۸۴- مؤسسه جغرافیایی و کارتوگرافی گیتاشناسی، ۲۷۱ ص.

نظری، م.: ۱۳۷۴- کانی‌شناسی و ژئوآگات‌ها و ژئودهای شرق خور و رابطه آن با تشکیل بتنویت‌ها، دومین همایش انجمن زمین‌شناسی ایران، ۴۸۵-۴۸۷.

هاشمی، ا.: ۱۳۷۹- تکتونیک خور، پایان‌نامه کارشناسی ارشد، دانشگاه شهید بهشتی، ۱۵۰ ص.

## References

- Capuano, R. M., 1992- The temperature dependence of hydrogen isotope fractionation between clay minerals and water: Evidence from geopressured system: *Geochimica et Cosmochimica Acta*, 56, 2547-2554.
- Cas, R. & Wright, J. V., 1988- Volcanic successions, Modern and ancient: Unwin Hyndman London, 528p.
- Christidis, G. E. & Dunham, A. C., 1993- Compositional variation in smectites part I. Alteration of intermediate rock, A case study from Milose Island, Greece: *Clay Minerals*, 28, 255-273
- Christidis, G. E. & Dunham, A. C., 1996- Compositional variation in smectites part II. Alteration of acidic precursors, A case study from Milose Island, Greece: *Clay Minerals*, 32, 253-270.
- Clayton, R. N., O'Neil, J. R. & Mayeda, T. K., 1972- Oxygen isotope exchange between quartz and water: *Journal of Geophysical Research*, 77, 3057-3067.
- Cole, T. G., 1985- Composition oxygen isotope geochemistry, and origin of smectite in the metalliferous sediments of Bauer deep, Southern Pacific: *Geochimica et Cosmochimica Acta*, 49, 221-235.
- Decher, A., Bechtel, A., Friedrich, G. & Hoernes, S., 1996- Stable isotope geochemistry of bentonite from island of Milos(Greece): *Chemical Geology*, 129, 101-113.
- Delgado, A. & Reyes, E., 1996- Oxygen and hydrogen isotope composition in clay minerals: a potential single mineral geothermometer: *Geochimica et cosmochimica acta*, 60, 4285-4289.
- Drits, V. A. & Kossovskaja, A. G., 1990- Smectites and mixed layer formations: *Clay Minerals*, Nauka, Moskow, 212p.
- Eliason, J. R., 1966- Montmorillonite exchange equilibria with strontium-sodium-cesium: *American Mineralogists*, 51, 324-335.
- Faure, G. & Mensing, T. M., 2005- Isotopes principles and applications: John Wiley & Sons, 896p.
- Fulignati, P., Gioncada, A. & Sbrana, A., 1999- Rare-earth element (REE) behavior in the alteration facies of the active magmatic-hydrothermal system of Volcano (Aeolian Islands, Italy): *Journal of Volcanology and Geothermal Research*, 88, 325-342.
- Gotze, J., Tichomirowa, H., Fuchs, H., Pilot, J. & Sharp, Z. D., 2001- Geochemistry of agates: a trace element and stable isotope study: *Chemical Geology*, 175, 523-541.
- Grim, R. E. & Guven, N., 1978- Bentonites, geology, mineralogy, properties and uses: *Development in Sedimentology*, 24: Elsevier Amesterdam, 256p.
- Hamza, M. S. & Epstein, S., 1980- Oxygen isotopic fractionation between oxygen of different sites in hydroxyl-bearing silicate minerals: *Geochemica et Cosmochemica Acta*, 44, 173-182.

- Hay, R. L. & Guldman, S. G., 1987- Diagenetic alteration of silicic ash Scarics Lake California: Clays and Clay Minerals, 35, 449.
- Henderson, J. H., Jackson, L. & Syers, J. K., 1971- Cristobalite authigenic origin in relation to montmorillonite and quartz origin in bentonite: Clays and Clay Minerals, 19, 229-238.
- Iijima, A., 1980- Geology of natural zeolites and zeolitic rocks: In: 5<sup>th</sup> International Conference on zeolites, 103-118.
- Iwasaki, T. & Onodera, Y., 1993- Sorption behaviour of caesium ions in smectites: Clay conference, 67-73.
- Jakson, M. L., 1979- Soil chemical analysis advanced course: Published by author, Madison, Wisconsin, 895p.
- Kolarikova, I. & Hanus, R., 2008- Geochemistry and mineralogy of bentonites from Ishirini (Libya): Chemie der erde-Chemistry, 68, 61-68.
- Lawrance, J. R. & Taylor, H. P., 1971- Deuterium and O-18 correlation: clay minerals and hydroxides in Quaternary soils compared to meteoric water: *Geochimica et Cosmochimica Acta*, 32, 25-42.
- Mason, B. & Moore, G. B., 1982- Principles of Geochemistry, Wiley, New York, 344p.
- Nazari, M., 2004- Agates and Geodes from the Khur area, Central Iran, 2004: Australian Gemmologist, 22, 21-28.
- Nol, W., 1936- Synthese von montmorilloniten: *Chemie der erde*, 10, 129-154.
- O' Neil, J. R. & Kharaka, Y. K., 1976- Hydrogen and oxygen isotope fractionation reaction between clay minerals and water: *Geochemica et Cosmochimica Acta*, 40, 241-246.
- Pokrovsky, O. S., Schott, J., Kudrayavtzev, D. I. & Dupre, B., 2005- Basalt weathering in Central Siberia under permafrost conditions: *Geochimica et Cosmochimica Acta*, 69, No. 24, 5659-5680.
- Rollinson, H. R., 1993- Using geochemical data, Evaluation, Presentation, Interpretation Addison: Wesley Longman, Harlow, 352 p.
- Savin, S. M. & Epstein, S., 1970- The oxygen and hydrogen isotope geochemistry of clay minerals: *Geochimica et Cosmochimica Acta*, 34, 25-42.
- Savin, S. M. & Lee, M., 1988- Isotope studies of phyllosilicates, In: Hydrous phyllosilicates: Mineral Society of America, 19, 189-223.
- Savin, S. M., 1980- Oxygen and hydrogen isotope effect in low temperature mineral-water interactions, In: Handbook of environmental isotope geochemistry: Elsevier. Amsterdam, 283-327.
- Sheppard, S. M. F. & Gilg, H. A., 1996- Stable isotope Geochemistry of clay minerals: *Clay Minerals*, 31, 1-24.
- Taylor, H. P., 1974- The application of oxygen and hydrogen studies to problems of hydrothermal alteration and ore deposits: *Economic Geology*, 69, 843-883.
- Technoexport, 1984- Geological map of Khur area, scale 1/250000, No. H7.
- Winchester, J. A. & Floyd, P. A., 1977- Geochemical classification of different magma series and their differentiation products using immobile elements: *Chemical Geology*, 20, 325-343.
- Yamada, H., Nakazawa, H. & Hashizume, H., 1994- Formation of smectite crystal at high pressure and temperature: *Clays and Clay Minerals*, 42, 674-678.
- Yeh, H. W. & Savin, S. M., 1977- Mechanism of burial metamorphism of argillaceous sediments, 3. O-isotope evidence: *Bulleten of Geology Society of America*, 88, 1321-1330.
- Yeh, H. W., 1980- Ratio and late stage dehydration of shales during burial: *Geochimica et Cosmochimica Acta*, 44, 341-352.
- Yousefi, H., Ehara, S. & Noorollahi, Y., 2007- Geothermal potential site selection using GIS in Iran, Proceeding: Thirty second workshop on geothermal reservoir, Stanford University.

# Study of Geochemistry and Origin of Bentonite and Silica Mineralization in Kavir Mine from Khur and Biyabanak (Isfahan Province)

F. Malek Mahmoodi <sup>1\*</sup>, M. Khalili <sup>2</sup> & H. Bagheri <sup>3</sup>

<sup>1</sup> Ph.D. Student, Faculty of Natural Resource and Geosciences, University of Shahr e Kord, Shahr e Kord, Iran

<sup>2</sup> Professor, Department of Geology, Faculty of Sciences, University of Isfahan, Isfahan, Iran

<sup>3</sup> Associate Professor, Department of Geology, Faculty of Sciences, University of Isfahan, Isfahan, Iran

Received: 2011 September 28      Accepted: 2012 June 25

## Abstract

Kavir bentonite in the northeast of Isfahan province is a part of the Khur bentonite horizon and lies in the Central Iranian structural zone. This deposits formed by the alteration of Eocene andesite-basalts. Based on the field observation several active faults are responsible in transporting siliceous fluids to the surface and their precipitation as geode, jasperoid and silicic veins. Microscopic observation indicates that these fluids outward alternatively in an alkaline aqueous basin. Chemical compositions of both siliceous and bentonitic samples as well as host volcanic rock show the same trend in trace elements and support the role of this hydrothermal fluid in bentonite formation. Depletion on LILE elements and Cs Positive anomalies is observed in siliceous and bentonitic samples. Oxygen and deuterium stable isotope study document that bentonites formed in temperature of about 83°C and hydrothermal fluids are essentially derived from a meteoric water origin.

**Keywords:** Bentonite, Silica, Stable Isotope, Eocene, Khur Bentonitic Horizon, Central Iran

For Persian Version see pages 67 to 76

\*Corresponding author: F. Malek Mahmoodi; E-mail: f.malekmahmoodi@gmail.com